

06  
© 1992 г.ПРОХОЖДЕНИЕ ЧАСТИЦ ЧЕРЕЗ МНОГОСЛОЙНЫЕ  
ТУННЕЛЬНЫЕ СТРУКТУРЫ

О. З. Олендский

Рассмотрено прохождение частиц через систему двух потенциальных барьеров, к которым приложено напряжение  $U$  и высота которых меняется со временем по гармоническому закону с частотой  $\omega$ . Осцилляция высот барьеров приводит к возникновению нескольких эквидистантных по энергиям каналов, соответствующих поглощению или потере частицей энергии, кратной  $\hbar\omega$ , зависимость коэффициентов прохождения от напряжения также имеет резонансный вид. Исследована зависимость резонансных кривых от частоты осцилляций барьеров  $\omega$ . Определены пути повышения эффективности взаимодействия туннелирующей частицы с колебаниями.

Микрочастица, туннелирующая через систему двух одинаковых одномерных прямоугольных потенциальных барьеров, может проходить их без уменьшения амплитуды своей волновой функции [1–3]. Это явление, получившее название резонансного туннелирования, происходит при совпадении энергии налетающей частицы с квазиуровнем энергии в яме между барьерами. При подаче напряжения на подобную структуру форма барьеров становится трапецеидальной, они смещаются относительно друг друга по энергетической шкале. В результате этого коэффициент прохождения уменьшается, однако соответствующим изменением параметров системы для определенных напряжений его опять можно сделать равным единице [4]. На практике это изменение параметров, зависящее от напряжения, может выразиться в увеличении ширины второго барьера.

Туннелируя, частица может возбуждать различные колебания и взаимодействовать с ними. Колебания могут происходить как в яме между барьерами, так и в самих барьерах. В данной работе на основе строгого квантово-механического анализа решается задача о прохождении микрочастицы, первоначально имеющей энергию  $\epsilon_F$ , через два потенциальных барьера, к которым приложено напряжение  $U$ . Высота барьеров периодически осциллирует во времени с частотой  $\omega$ . Один из барьеров расположен в области  $0 < x < a_1$ , второй — в области  $s + a_1 < x < s + a_1 + a_2$ , где  $a_1$ ,  $a_2$ ,  $s$  представляют собой соответственно толщину первого и второго барьеров и ширину ямы. Тогда в уравнении Шредингера

$$i\hbar \frac{\partial \Psi}{\partial t} = -\frac{\hbar^2}{2m_0} \frac{\partial^2 \Psi}{\partial x^2} + V(x,t) \Psi \quad (1)$$

$V(x,t)$  имеет вид

$$V(x,t) = V_1(x,t) + V_2(x,t) + V_3(x,t) + V_4(x,t), \quad (2)$$

$$V_1(x,t) = \begin{cases} V_1 - \frac{eU}{a_s} x + V_{01} \cos \omega t, & 0 < x < a_1, \\ 0, & x < 0, \quad x > a_1, \end{cases} \quad (3)$$

$$V_2(x,t) = \begin{cases} -\frac{eU}{a_s}x, & a_1 < x < a_1 + s, \\ 0, & x < a_1, \quad x > a_1 + s, \end{cases} \quad (4)$$

$$V_3(x,t) = \begin{cases} V_2 - \frac{eU}{a_s}x + V_{02} \cos(\omega t + \varphi), & a_1 + s < x < a_s, \\ 0, & x < a_1 + s, \quad x > a_s, \end{cases} \quad (5)$$

$$V_4(x,t) = \begin{cases} -eU, & x > a_s, \\ 0, & x < a_s. \end{cases} \quad (6)$$

Здесь  $a_s = a_1 + a_2 + s$ ;  $V_1, V_2$  — высоты первого и второго барьеров;  $V_{01}$  и  $V_{02}$  — амплитуды модуляции на первом и втором барьерах;  $\varphi$  — разность фаз;  $m_0$  — масса частицы,  $e$  — абсолютная величина заряда электрона. Условимся обозначать решения уравнения Шредингера в областях  $x < 0$ ,  $0 < x < a_1$ ,  $a_1 < x < s + a_1$ ,  $s + a_1 < x < a_s$ ,  $x > a_s$  соответственно индексами 1, 2, 3, 4, 5. В области  $x < 0$  решение уравнения Шредингера имеет вид

$$\Psi_1(x,t) = \sum_{n=-\infty}^{\infty} \left\{ \delta_{n0} e^{i\kappa_n x} + A_n e^{-i\kappa_n x} \right\} \exp\left(-i \frac{\varepsilon_F + n\hbar\omega}{\hbar} t\right), \quad (7)$$

где  $\kappa_n = \frac{\sqrt{2m_0(\varepsilon_F + n\hbar\omega)}}{\hbar}$ .

В области  $x > a_s$  имеем следующее решение:

$$\Psi_5(x,t) = \sum_{n=-\infty}^{\infty} C_n \exp\left[-i \left\{ \frac{\varepsilon_F + n\hbar\omega}{\hbar} t - p_n(x - a_s) \right\}\right], \quad (8)$$

$p_n = \sqrt{2m_0(\varepsilon_F + n\hbar\omega + eU)} / \hbar$ . Первый член в (7) описывает падающую на структуру частицу, второй — совокупность отраженных (при  $\varepsilon_F + n\hbar\omega > 0$ ) или локализованных в области барьеров (при  $\varepsilon_F + n\hbar\omega < 0$ ) волн. Аналогично (8) описывает прошедшие через структуру (при  $\varepsilon_F + n\hbar\omega + eU > 0$ ) или локализованные в области барьеров (при  $\varepsilon_F + n\hbar\omega + eU < 0$ ) состояния.

В яме между барьерами решение уравнения Шредингера описывается функциями Эйри  $Ai(x)$  и  $Bi(x)$  [5]

$$\Psi_3(x,t) = \sum_{n=-\infty}^{\infty} \left\{ B_n Ai\left(-\frac{x + a_s \theta_2(n)}{x_0}\right) + D_n Bi\left(-\frac{x + a_s \theta_2(n)}{x_0}\right) \right\} \exp\left(-i \frac{\varepsilon_F + n\hbar\omega}{\hbar} t\right), \quad (9)$$

где  $\theta_2(n) = \frac{\varepsilon_F + n\hbar\omega}{eU}$ ,  $x_0 = \left(\frac{a_s \hbar^2}{2m_0 eU}\right)^{1/3}$ .

В области барьеров волновая функция принимает вид

$$\Psi_2(x,t) = \exp\left(-i \frac{V_{01}}{\hbar\omega} \sin\omega t\right) \sum_{n=-\infty}^{\infty} \left\{ E_n Ai\left(-\frac{x + a_s \theta_1(n)}{x_0}\right) + \right.$$

$$+ G_n \text{Bi} \left( -\frac{x + a_s \theta_1(n)}{x_0} \right) \left. \right\} \exp \left( -i \frac{\varepsilon_F + n\hbar\omega}{\hbar} t \right), \quad (10)$$

$$\Psi_4(x, t) = \exp \left[ -i \frac{V_{02}}{\hbar\omega} \sin(\omega t + \varphi) \right] \sum_{n=-\infty}^{\infty} \left\{ H_n \text{Ai} \left( -\frac{x + a_s \Theta_3(n)}{x_0} \right) + \right. \\ \left. + Q_n \text{Bi} \left( -\frac{x + a_s \theta_3(n)}{x_0} \right) \right\} \exp \left( -i \frac{\varepsilon_F + n\hbar\omega}{\hbar} t \right), \quad (11)$$

$$\theta_1(n) = \frac{\varepsilon_F + n\hbar\omega - V_1}{eU}, \quad \theta_3(n) = \frac{\varepsilon_F + n\hbar\omega - V_2}{eU}.$$

Обычные условия непрерывности волновой функции и ее первой пространственной производной приводят к следующей бесконечной системе линейных уравнений с комплексными коэффициентами для определения  $C_n$ :

$$\sum_{m=-\infty}^{\infty} F_{nm}^{(+)} C_m = \delta_{n0}. \quad (12)$$

Коэффициенты  $A_n$  выражаются через  $C_n$

$$A_n = \sum_{m=-\infty}^{\infty} F_{nm}^{(-)} C_m. \quad (13)$$

Здесь

$$F_{nm}^{(\pm)} = \frac{\pi^3}{2} \sum_{l,k,j} J_{n+j} \left( \frac{V_{01}}{\hbar\omega} \right) J_{j+k} \left( \frac{V_{01}}{\hbar\omega} \right) J_{k+l} \left( \frac{V_{02}}{\hbar\omega} \right) J_{l+m} \left( \frac{V_{02}}{\hbar\omega} \right) \times \\ \times e^{i(m-k)\varphi} f_{nm}^{(\pm)}(l, k, j), \quad (14)$$

$J_n(x)$  — функция Бесселя  $n$ -го порядка,

$$f_{nm}^{(\pm)}(l, k, j) = f_m^a(l, k, j) \text{Ai}(z_0(j)) - f_m^b(l, k, j) \text{Bi}(z_0(j)) \pm \\ \pm i \frac{1}{x_0 \varrho_n} \left\{ f_m^a(l, k, j) \text{Ai}'(z_0(j)) - f_m^b(l, k, j) \text{Bi}'(z_0(j)) \right\},$$

$$f_m^a(l, k, j) = f_m^c(l, k, j) S_1(z_2(k), z_1(j)) + f_m^d(l, k) S_2(z_2(k), z_1(j)),$$

$$f_m^b(l, k, j) = f_m^c(l, k) S_3(z_2(k), z_1(j)) + f_m^d(l, k) S_1(z_1(j), z_2(k)),$$

$$f_m^c(l, k) = f_m^r(l) S_1(z_4(l), z_3(k)) + f_m^h(l) S_2(z_4(l), z_3(k)),$$

$$f_m^d(l, k) = f_m^r(l) S_3(z_4(l), z_3(k)) + f_m^h(l) S_1(z_3(k), z_4(l)),$$

$$f_m^r(l) = \text{Bi}'(z_5(l)) + ix_0 p_m \text{Bi}(z_5(l)),$$

$$f_m^h(l) = \text{Ai}'(z_5(l)) + ix_0 p_m \text{Ai}(z_5(l)),$$

$$S_1(x, y) = \text{Ai}(x) \text{Bi}'(y) - \text{Ai}'(x) \text{Bi}(y),$$

$$S_2(x, y) = \text{Bi}'(x) \text{Bi}(y) - \text{Bi}(x) \text{Bi}'(y),$$

$$S_3(x, y) = \text{Ai}(x) \text{Ai}'(y) - \text{Ai}'(x) \text{Ai}(y),$$

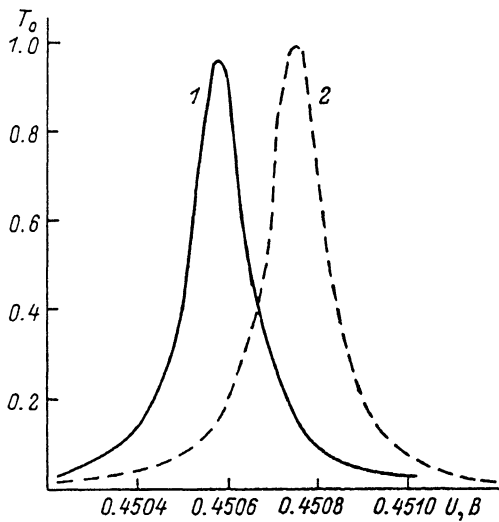


Рис. 1. Зависимость  $T_0$  от напряжения  $U$ .  
 $\hbar\omega$ , эВ: 1 — 0.1, 2 — 0 (статический случай).

$$\begin{aligned}
 z_0(j) &= -\frac{a_s}{x_0} \theta_1(j), & z_1(j) &= -\frac{a_1 + a_s \theta_1(j)}{x_0}, \\
 z_2(k) &= -\frac{a_1 + a_s \theta_2(k)}{x_0}, & z_3(k) &= -\frac{a_1 + s + a_s \theta_2(k)}{x_0}, \\
 z_4(l) &= -\frac{a_1 + s + a_s \theta_3(l)}{x_0}, & z_5(l) &= -\frac{a_s}{x_0} \{1 + \theta_3(l)\}, \\
 \text{Ai}'(x) &= \frac{d}{dx} \text{Ai}(x), & \text{Bi}'(x) &= \frac{d}{dx} \text{Bi}(x).
 \end{aligned} \tag{15}$$

Если положить  $a_2$ ,  $s$ ,  $V_{02}$ ,  $V_2$  равными нулю, то формулы (12)—(15) переходят, как и следовало ожидать, в формулы для туннелирования частицы через трапецидальный барьер, высота которого меняется со временем по гармоническому закону [6].

Из (7)—(11) следует, что усредненная по периоду колебаний производная по времени от плотности вероятности  $\rho = \Psi\Psi^*$  равна нулю, и поэтому

$$\sum_n (J_n + R_n) = 1. \tag{16}$$

$T_n$  и  $R_n$  являются коэффициентами прохождения и отражения для канала с номером  $n$

$$T_n = \sqrt{\frac{\varepsilon_F + n\hbar\omega + eU}{\varepsilon_F}} |C_n|^2 h(\varepsilon_F + n\hbar\omega + eU), \tag{17}$$

$$R_n = \sqrt{\frac{\varepsilon_F + n\hbar\omega}{\varepsilon_F}} |A_n|^2 h(\varepsilon_F + n\hbar\omega), \tag{18}$$

$h(x)$  — ступенчатая функция Хевисайда.

На рис. 1 приводится зависимость  $T_0$  от  $U$ , рассчитанная по формулам (12)—(18), для случая  $V_1 = V_2 = 1.8$  эВ,  $a_1 = 1$  нм,  $a_2 = 1.3$  нм,  $s = 3$  нм,  $\varepsilon_F = 1.0$  эВ,

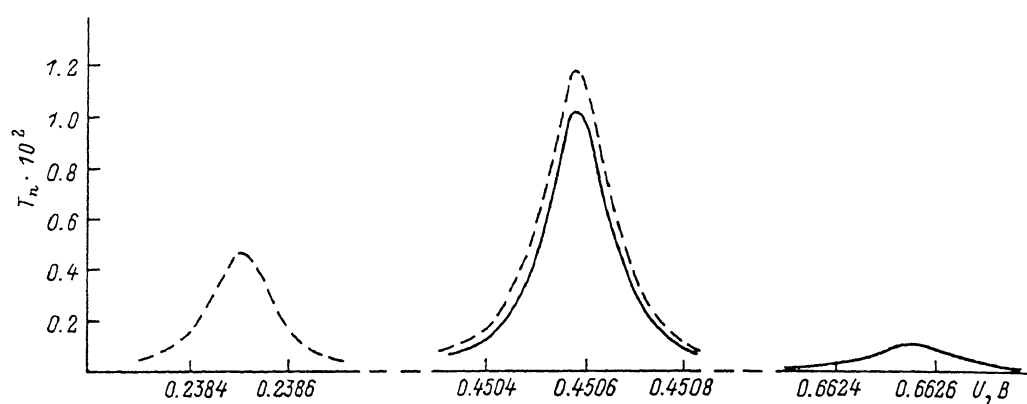


Рис. 2. Зависимость  $T_n$  от  $U$ .

$\hbar\omega = 0.1$  эВ,  $V_{01}/(\hbar\omega) = V_{02}/(\hbar\omega) = 0.5$ ,  $\varphi = 0$ ,  $m_0 = m_e$ ,  $m_e$  — масса электрона. Там же для сравнения приведена и кривая для статических барьеров ( $V_{01} = V_{02} = 0$ ) с теми же параметрами. На рисунке показаны участки кривых вблизи наибольшего максимума. Видно, что для основного канала ( $n = 0$ , прохождение без излучения или поглощения частицей квантов колебаний) наложение осцилляций на барьеры изменяет зависимость коэффициента прохождения от напряжения. В исследуемом диапазоне энергий модуляции  $0 \leq \hbar\omega \leq 0.15$  эВ увеличение  $\hbar\omega$  (при неизменности  $V_{01}/(\hbar\omega)$  и  $V_{02}/(\hbar\omega)$ ) приводит к уменьшению значения  $T_0$  в максимуме и его смещение в область меньших напряжений. Так, при  $\hbar\omega = 0.01$  эВ максимальное значение  $T_0^{\max} = 0.9938$  достигается при  $U_{\max} = 0.45075$  В. При  $\hbar\omega = 0.15$  эВ эти величины принимают значения  $T_0^{\max} = 0.9111$ ,  $U_{\max} = 0.45036$  В. Отметим, что изменение резонансной кривой существенно зависит также от  $V_{01}/(\hbar\omega)$  и  $V_{02}/(\hbar\omega)$ .

Прохождение частицы по каналу с  $n \neq 0$  с излучением (для  $n < 0$ ) или поглощением (для  $n > 0$ ) частицей квантов колебаний определяется величинами  $V_{01}/(\hbar\omega)$ ,  $V_{02}/(\hbar\omega)$ ,  $\varepsilon_F$ ,  $\omega$ , а также параметрами барьеров. На рис.2 приведена зависимость  $T_n$  от напряжения для  $n = 1$  (штриховая линия) и  $-1$  (сплошная линия). Величина  $T_1$  проходит через максимумы при напряжениях  $U_<$  и  $U_{\max}$ , а величина  $T_{-1}$  — при  $U_{\max}$  и  $U_>$ , где  $U_< < U_{\max} < U_>$ . Величины  $T_n$  в максимуме на несколько порядков превосходят нерезонансные значения и зависят от  $\varepsilon_F$ ,  $\hbar\omega$ ,  $V_{01}/(\hbar\omega)$ ,  $V_{02}/(\hbar\omega)$ . Величины  $\Delta_< = U_{\max} - U_<$  и  $\Delta_> = U_> - U_{\max}$  не равны друг другу, и  $\Delta = \Delta_< - \Delta_> > 0$ . Последнее неравенство усиливается ростом  $\hbar\omega$ . В интервале  $0 \leq \hbar\omega \leq 0.15$  эВ резонансные значения  $T_1^{\max}$  и  $T_{-1}^{\max}$ , достигаемые при  $U_{\max}$ , возрастают с увеличением частоты модуляции и неизменностью  $V_{01}/(\hbar\omega)$  и  $V_{02}/(\hbar\omega)$ . Характер этой зависимости приведен на рис. 3.

Дополнительного увеличения значений  $T_n$  при  $U_<$  и  $U_>$  можно достичь, изменяя ширину одного из барьеров. На рис. 4 приводится зависимость максимальных значений  $T_1^<$  и  $T_{-1}^>$ , достигаемых при  $U_<$  и  $U_>$ , от ширины второго барьера.

Видно, что для наиболее эффективного поглощения частицей кванта колебаний необходимо уменьшить ширину второго барьера (по сравнению с максимальным резонансом в статическом случае), а для наиболее эффективного испускания увеличить ее.

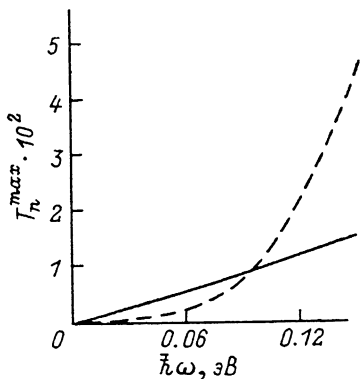


Рис. 3. Зависимость  $T_n^{\max}$  от  $\hbar\omega$ .  
Штриховая линия —  $n = 1$ , сплошная —  $n = -1$ .

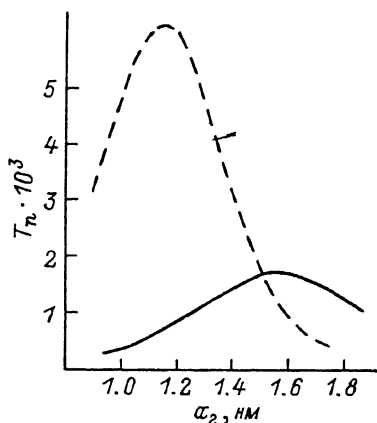


Рис. 4. Зависимость максимальных значений  $T_1^+$  и  $T_1^-$  от ширины второго барьера  $a_2$ .  
Штриховая и сплошная линии — то же, что и на рис. 3.

### Заключение

Для частицы, туннелирующей через два барьера, к которым приложено напряжение  $U$ , а высоты гармонически изменяются во времени с частотой  $\omega$ , коэффициент прохождения без излучения или поглощения кванта колебаний имеет резонансную зависимость от  $U$ . С увеличением частоты модуляции  $\omega$  резонансное значение коэффициента прохождения уменьшается, а резонансная кривая смещается в область меньших напряжений. Для прохождения с излучением или поглощением частиц кванта колебаний коэффициенты прохождения также имеют резонансную зависимость от напряжения. Резонансы имеют место для прохождения с поглощением при  $U_<$  и  $U_{\max}$ , для прохождения с излучением при  $U_{\max}$  и  $U_>$ ; где  $U_< < U_{\max} < U_>$ , а  $U_{\max}$  — напряжение, при котором достигается максимум коэффициента прохождения без излучения или поглощения.  $U_>$  расположено ближе к  $U_{\max}$ , чем  $U_<$ ; эта несимметричность возрастает с ростом  $\omega$ . Дополнительного увеличения коэффициентов прохождения при  $U_<$  и  $U_>$  можно добиться, варьируя величину барьеров.

### Список литературы

- [1] Бом Д. Квантовая теория. М.: Наука, 1965. 728 с.
- [2] Иогансен Л. В. // ЖЭТФ. 1963. Т. 45. Вып. 2. С. 207—213.
- [3] Иогансен Л. В. // ЖЭТФ. 1964. Т. 47. Вып. 1. С. 270—277.
- [4] Ricco B., Azbel M. Y. // Phys. Rev. B. 1984. Vol. 29. N 4. P. 1970—1981.
- [5] Справочник по специальным функциям / Под ред. М. Абрамовица, И. Стиган. М.: Наука, 1979. 832 с.
- [6] Кузнецов В. С. // ЖТФ. 1990. Т. 60. Вып. 3. С. 45—49.

Белорусский государственный университет им. В. И. Ленина  
Минск

Поступило в Редакцию  
16 апреля 1991 г.